

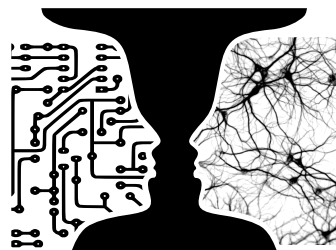
Apprentissage de modèles parcimonieux à partir de génomes complets avec application à la résistance aux antibiotiques

Alexandre Drouin

Groupe de recherche en apprentissage automatique

Département d'informatique et de génie logiciel

Université Laval



Groupe de
Recherche en
Apprentissage
Automatique de
Laval



UNIVERSITÉ
LAVAL

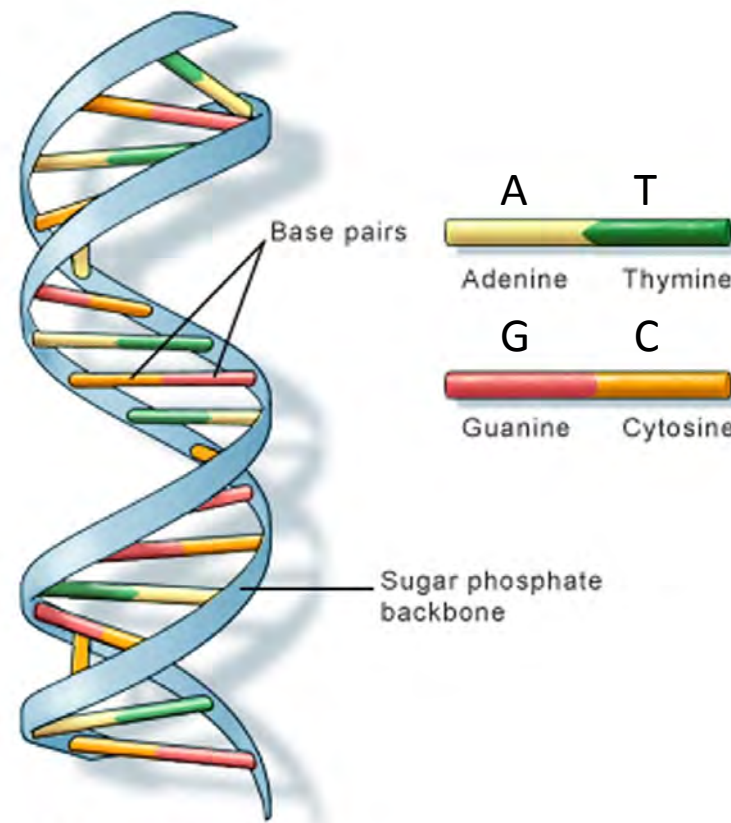
Plan

- Introduction
 - Génomique
 - Apprentissage automatique
- Méthode
 - Représentation des données
 - Set Covering Machine
- Implémentation
- Résultats
 - Résistance aux antibiotiques
- Conclusion

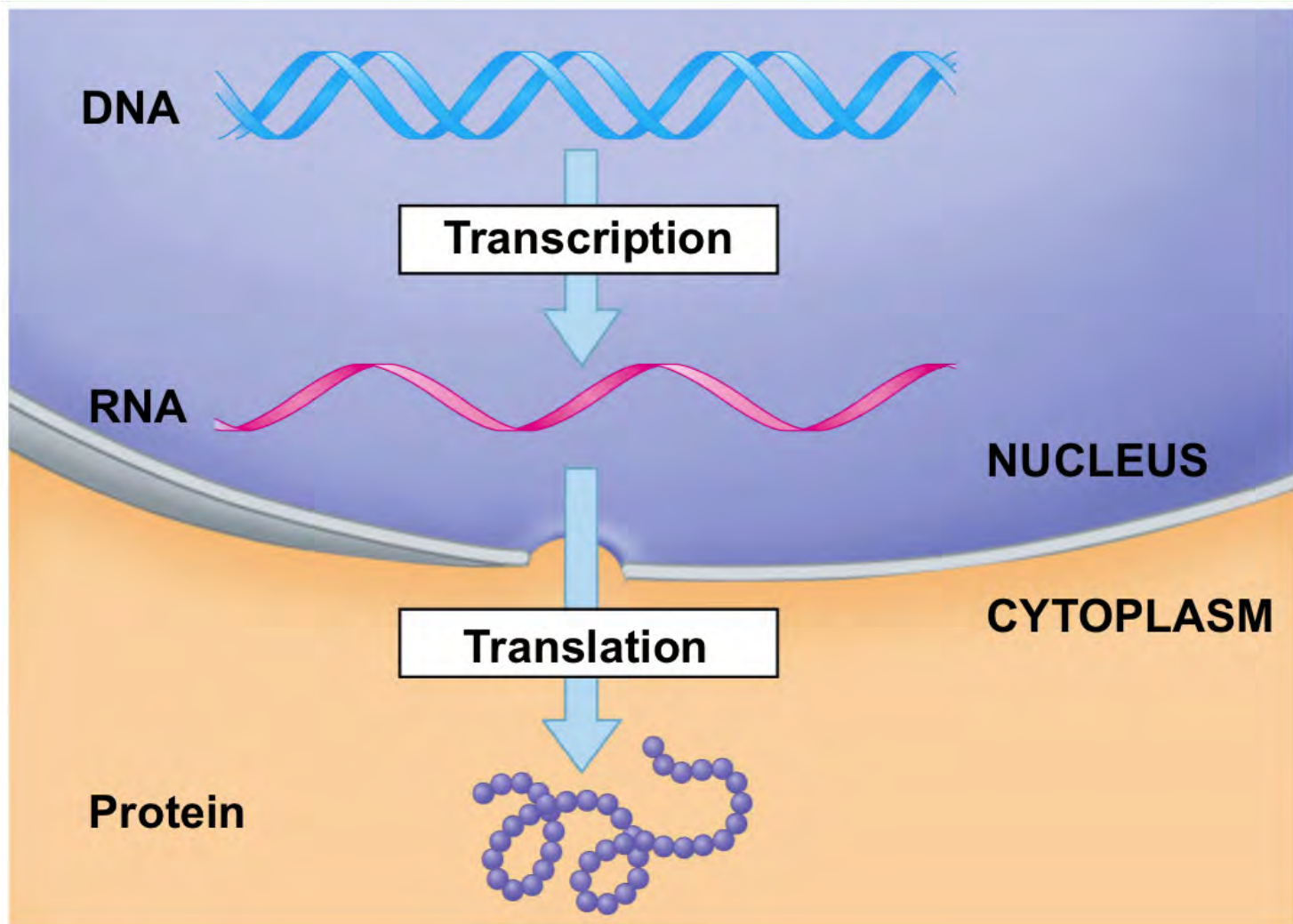
Introduction

Génomique

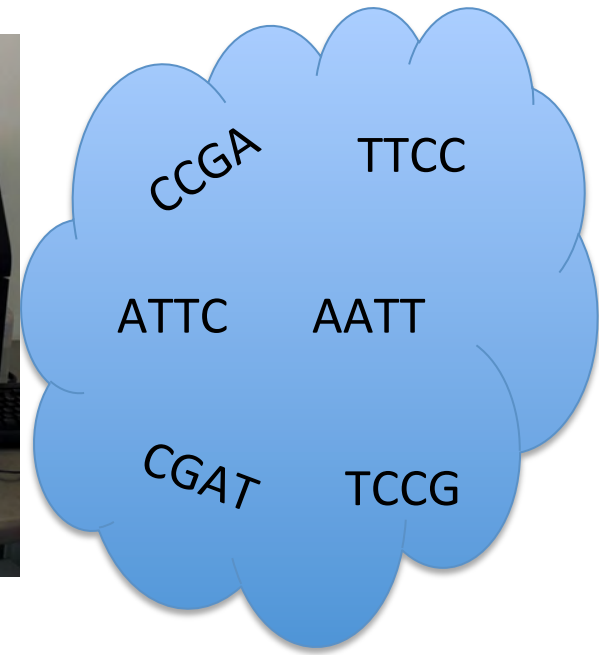
La génomique est un champ d'étude de la biologie portant sur l'étude de l'ensemble de l'ADN (génome).



Biologie moléculaire

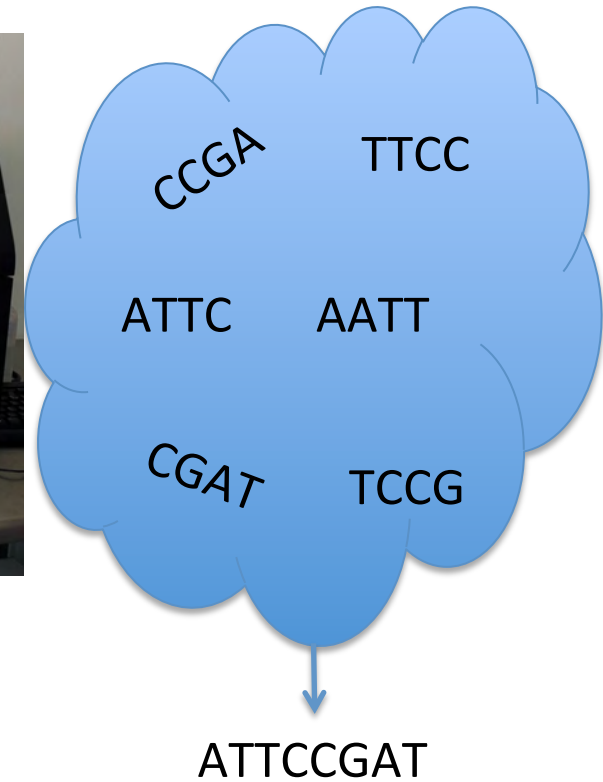


Séquençage de l'ADN



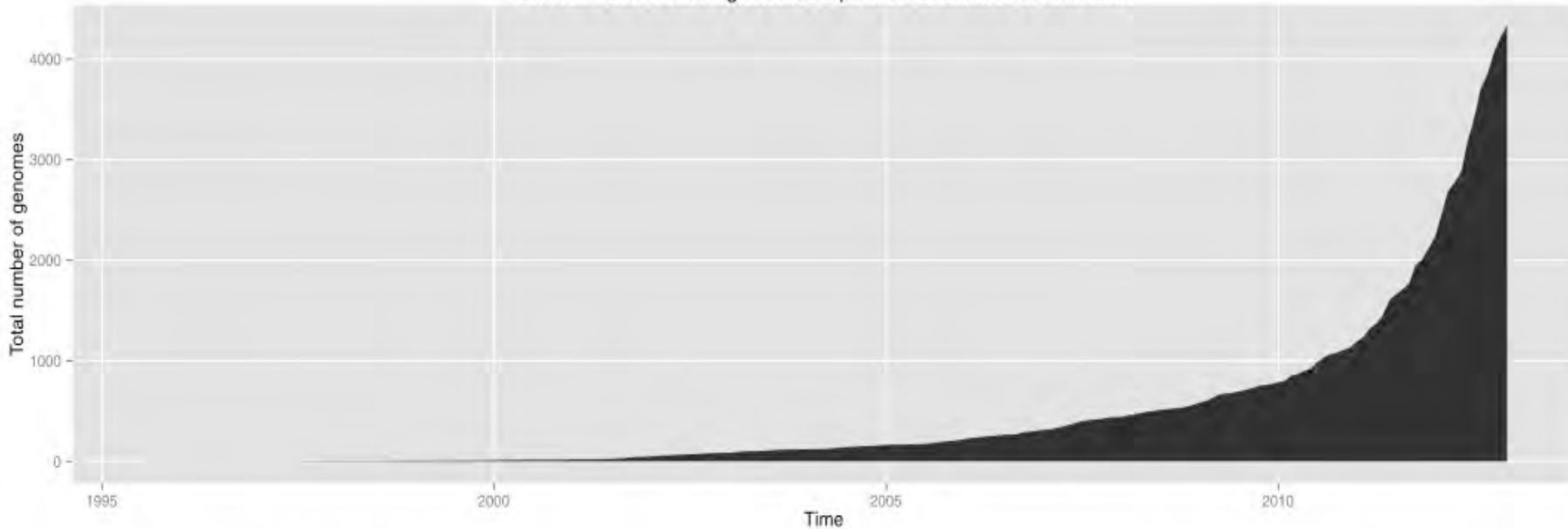
Le séquenceur produit un ensemble de courtes séquences représentant des fragments de la molécule d'ADN.

Assemblage de l'ADN

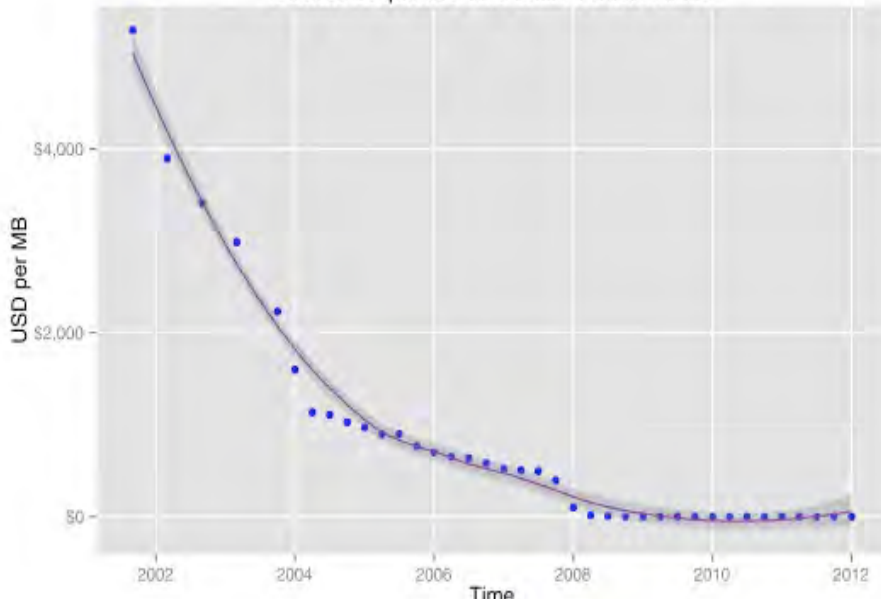


L'assembleur assemble les fragments pour former de longues séquences contigües.

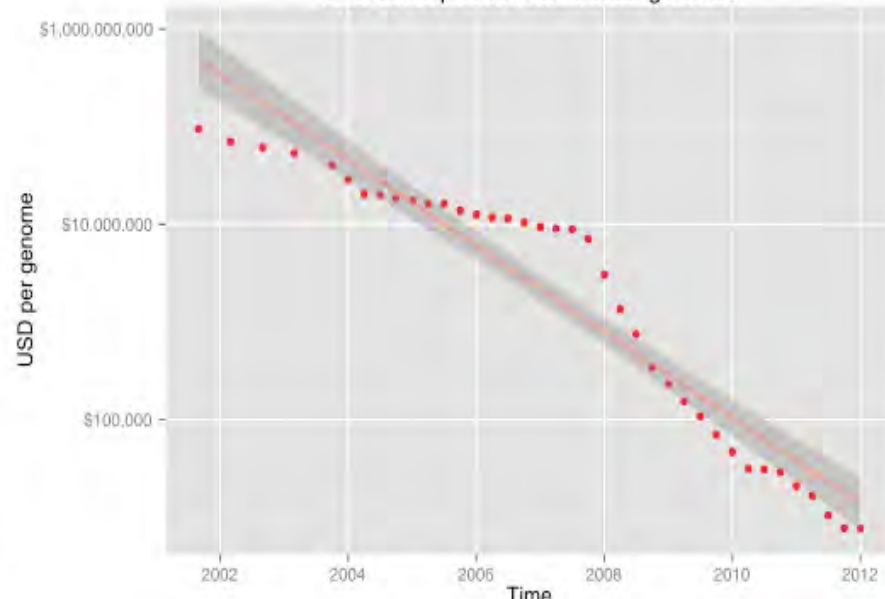
Bacterial and archeal genome sequences submitted to Genbank



Cost to sequence one million nucleotides

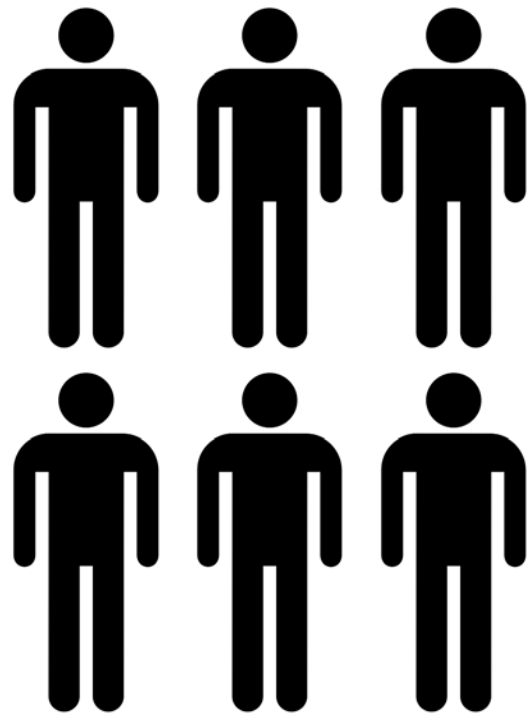


Cost to sequence one human genome

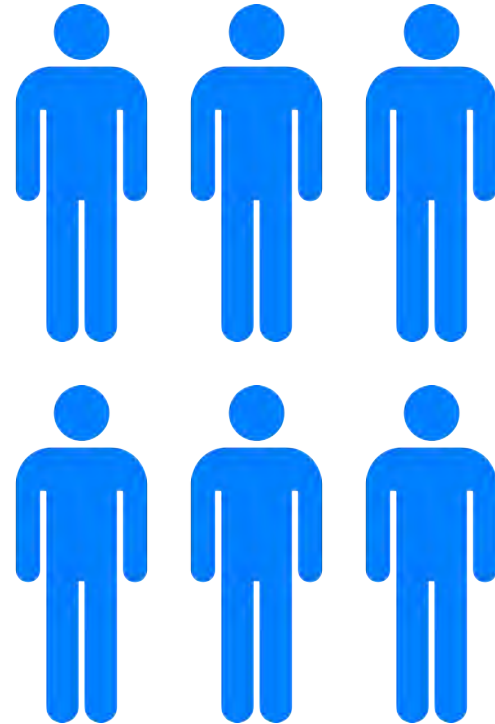


Études cas-témoin

Cancer



Sain



VS

Les études cas-témoin comparent l'ADN de plusieurs individus, en vue de déterminer ce qui les distingue.

Apprentissage automatique

*"Field of study that gives computers the ability
to learn without being explicitly programmed"*

- Arthur Samuel, 1959

Apprentissage Supervisé

Ensemble de données

$$\mathcal{S} = \{(\mathbf{x}_i, y_i)\}_{i=1}^m \sim D$$

avec $(\mathbf{x}_i, y_i) \in \mathcal{X} \times \mathcal{Y}$

Espace d'entrée \mathcal{X}

L'ensemble de tous les génotypes

Espace de sortie \mathcal{Y}

$$\mathcal{Y} = \{0, 1\}$$

Hypothèse (modèle)

$$h = \mathcal{A}(\mathcal{S}), h : \mathcal{X} \rightarrow \mathcal{Y}$$

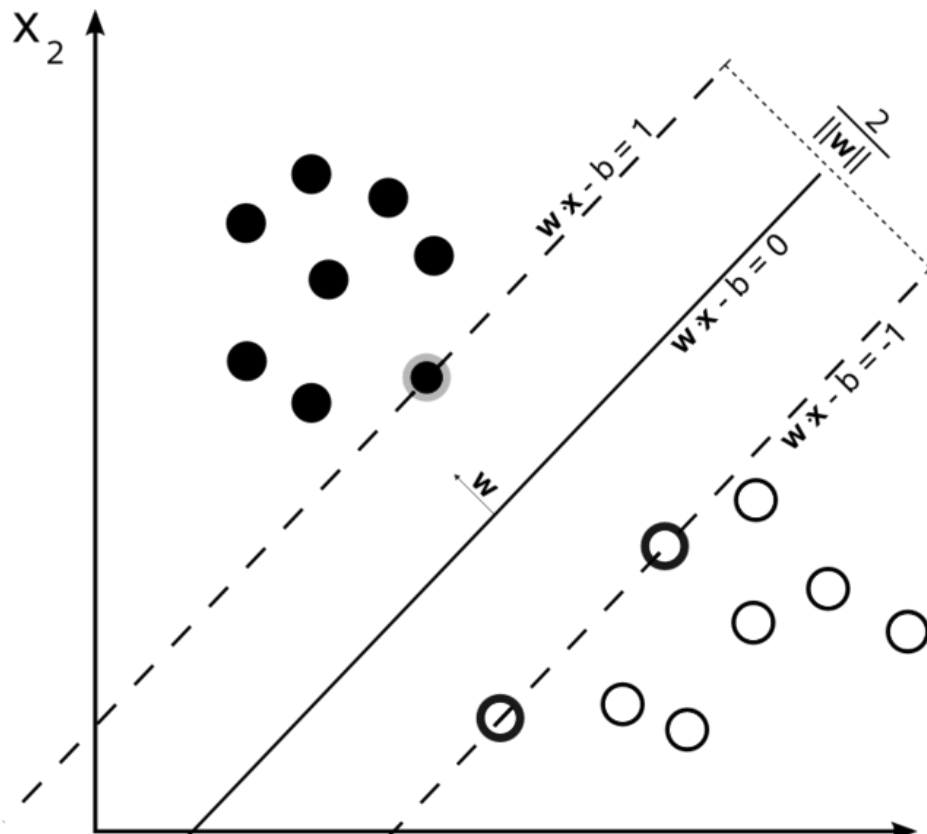
Risque

$$\mathop{\mathbf{E}}_{(\mathbf{x}, y) \sim D} I[h(\mathbf{x}) \neq y]$$

Interprétable

- Les modèles doivent pouvoir être interprétés par des experts du domaine
- Parcimonieux
- Structure du modèle

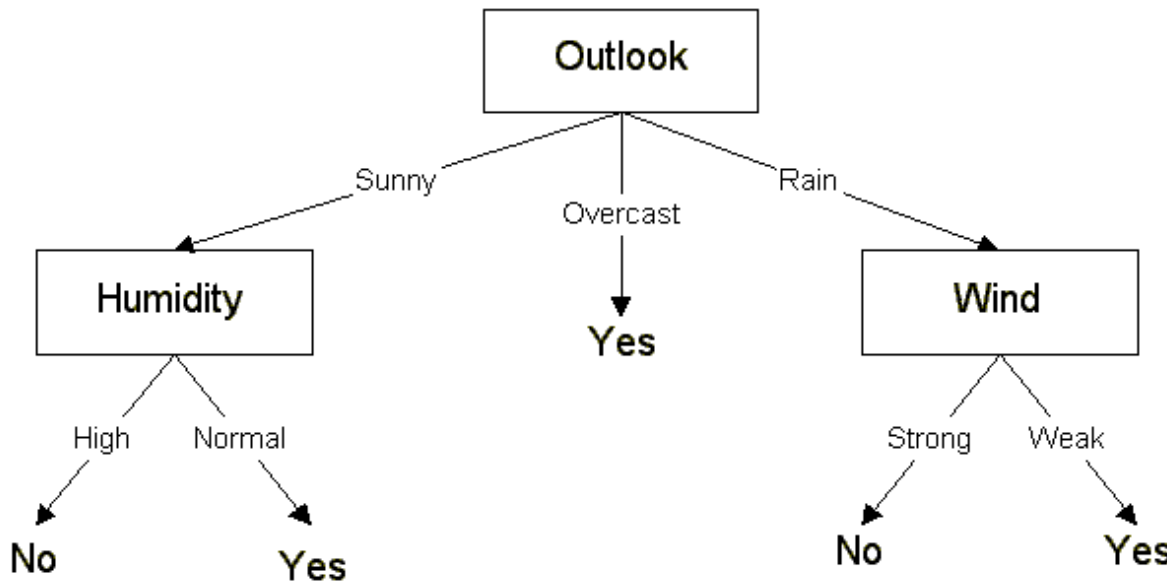
Support Vector Machine



Supposons que les x sont des vecteurs. Le modèle appris par une SVM est dense et a la forme d'une combinaison linéaire.

Arbre de décision

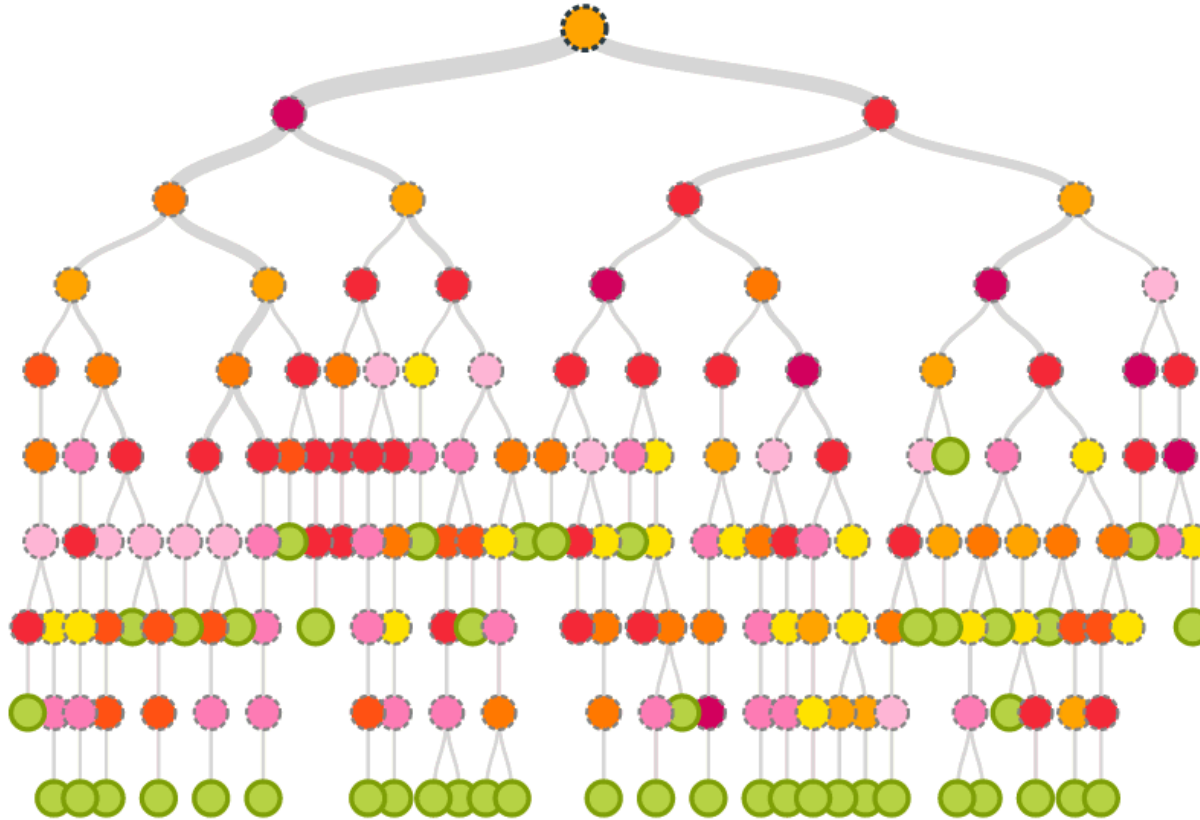
Is it a good time to play baseball?



<http://www.cise.ufl.edu/~ddd/cap6635/Fall-97/Short-papers/Image3.gif>

La structure d'un arbre de décision est simple à interpréter.

Arbre de décision



Source: http://littleml.files.wordpress.com/2013/04/decision_tree.png

Quand il est parcimonieux...

Méthode

Représentation “bag-of-words”

- k-mer: séquence de k nucléotides
- Soit \mathcal{K} , l'ensemble de tous les k-mers présents dans les génomes de l'ensemble \mathcal{S} .
- On représente chaque génome \mathbf{x} par un vecteur $\phi(\mathbf{x}) \in \mathbb{R}^{|\mathcal{K}|}$ tel que $\phi_j(\mathbf{x}) = 1$ si $k_j \in \mathcal{K}$ et 0 sinon.
- $|\mathcal{K}|$ peut être très grand! (Humain > 3000000000 / individu)

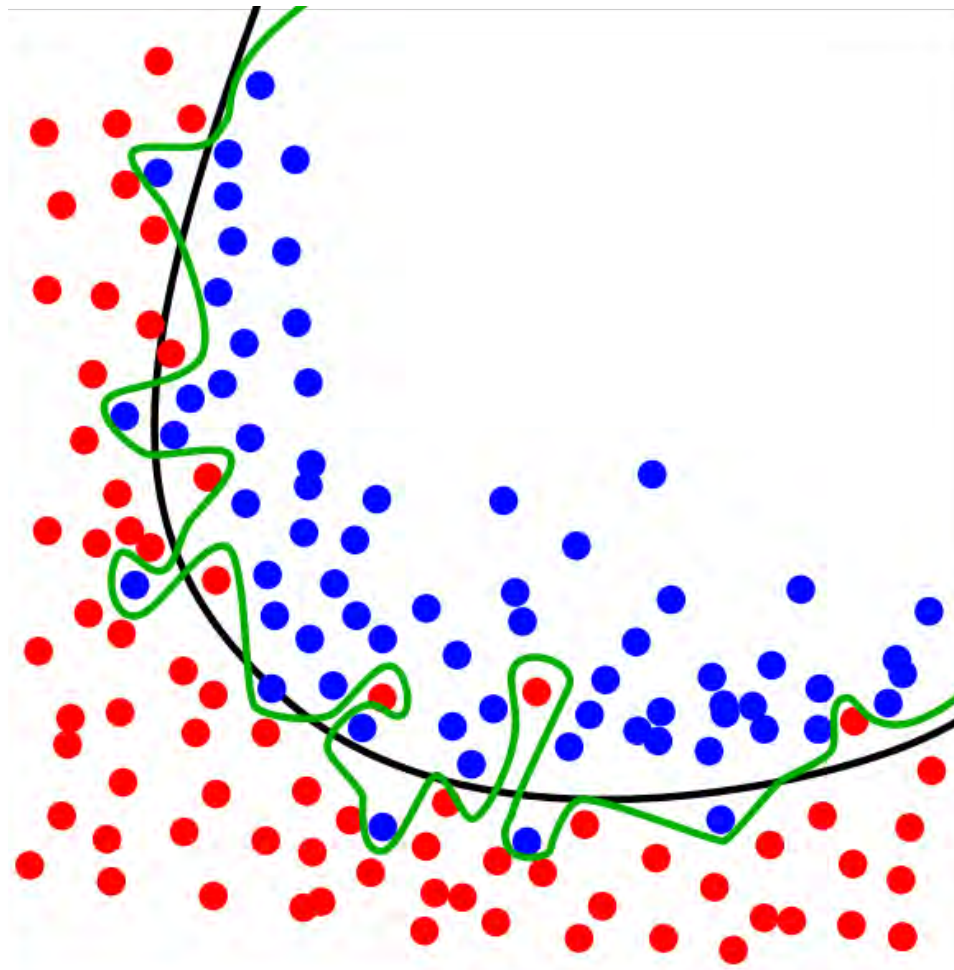
Représentation “bag-of-words”

$$\mathcal{K} = \left\{ \begin{array}{cccc} \text{CAGATA} & \text{GATAGA} & \text{GAACAG} & \text{CGATGA} \\ \text{AGATAG} & \text{AGAACCA} & \text{ATAGAA} & \text{CCGGCT} \\ \text{AACAGC} & \text{TAGAAC} & \text{TTTCGG} & \text{AAATAC} \end{array} \right\}$$

$$\mathbf{x} = \text{CAGATAGAACAGC}$$

$$\phi(\mathbf{x}) = \begin{array}{cccccccccccccc} 1 & 0 & 1 & 1 & 0 & 1 & 1 & 0 & 1 & 1 & 1 & 1 & 1 & 0 \\ \text{CAGATA} & \text{TTTCGG} & \text{AGATAG} & \text{GATAGA} & \text{CGATGA} & \text{AACAGC} & \text{ATAGAA} & \text{CCGGCT} & \text{TAGAAC} & \text{GAACAG} & \text{AGAACCA} & \text{AAATAC} \end{array}$$

Attention au surapprentissage!



Set Covering Machine

- Proposé par Marchand et Shawe-Taylor en 2003
- Modèles:
 - ★ Parcimonieux
 - ★ Conjonctions/disjonctions de règles à valeur booléenne:
$$r : \mathbb{R}^{|\mathcal{K}|} \rightarrow \{0, 1\}$$
- Complexité algorithmique optimale $O(m|\mathcal{K}|)$

Règles à valeur booléenne

- Pour tout k-mer $k_j \in \mathcal{K}$:

★ Règle de présence:

$$p_{k_j}(\phi(\mathbf{x})) = I[\phi_j(\mathbf{x}) = 1]$$

★ Règle d'absence:

$$a_{k_j}(\phi(\mathbf{x})) = I[\phi_j(\mathbf{x}) = 0]$$

Set Covering Machine

Algorithm 1: TrainConjunctionSCM(S, \mathcal{R}, p, s)

input: S : Set of training examples, \mathcal{R} : Set of boolean-valued rules,
 p : Class tradeoff parameter, s : Early stopping parameter.

$$\mathcal{R}^* \leftarrow \emptyset$$

$\mathcal{P} \leftarrow$ the set of examples in S with label 1

$\mathcal{N} \leftarrow$ the set of examples in S with label 0

while $\mathcal{N} \neq \emptyset$ **and** $|\mathcal{R}^*| < s$ **do**

$\forall r_i \in \mathcal{R}$, $\mathcal{A}_i \leftarrow$ the subset of \mathcal{N} correctly classified by r_i

$\forall r_i \in \mathcal{R}$, $\mathcal{B}_i \leftarrow$ the subset of \mathcal{P} misclassified by r_i

$\forall r_i \in \mathcal{R}$, $U_i \leftarrow |\mathcal{A}_i| - p \cdot |\mathcal{B}_i|$

$i^* \leftarrow \operatorname{argmax}_i U_i$

$\mathcal{R}^* \leftarrow \mathcal{R}^* \cup \{r_{i^*}\}$

$\mathcal{N} \leftarrow \mathcal{N} - \mathcal{A}_{i^*}$

$\mathcal{P} \leftarrow \mathcal{P} - \mathcal{B}_{i^*}$

return h , where $h(\mathbf{x}) = \bigwedge_{r_i^* \in \mathcal{R}^*} r_i^*(\phi(\mathbf{x}))$

Apprentissage de disjonctions

1. Créer un nouvel ensemble de données:

$$S' = (\mathbf{x}_i, \neg y_i) : (\mathbf{x}_i, y_i) \in S$$

2. Utiliser SCM pour apprendre à partir de S'

$$h = \bigwedge_{r_i^* \in \mathcal{R}^*} r_i^*(\phi(\mathbf{x}))$$

3. Appliquer la loi de De Morgan:

$$\neg \bigwedge_{r_i^* \in \mathcal{R}^*} r_i^*(\phi(\mathbf{x})) = \bigvee_{r_i^* \in \mathcal{R}^*} \neg r_i^*(\phi(\mathbf{x}))$$

Implémentation

Matrice de Kmers

Nous utilisons Ray Surveyor pour produire une matrice de “bag-of-words” à partir des génomes.

	$ \mathcal{K} $											
m	1	1	0	0	1	0	1	0	0	1	0	
	1	1	0	1	1	1	0	0	0	1	0	
	0	1	0	0	1	1	1	1	1	1	1	
	0	1	0	1	0	1	0	0	1	1	1	
	1	0	1	1	0	1	0	1	1	1	1	
	1	1	1	1	0	0	0	0	1	1	1	



<https://github.com/zorino/ray>

Calcul de la fonction d'utilité

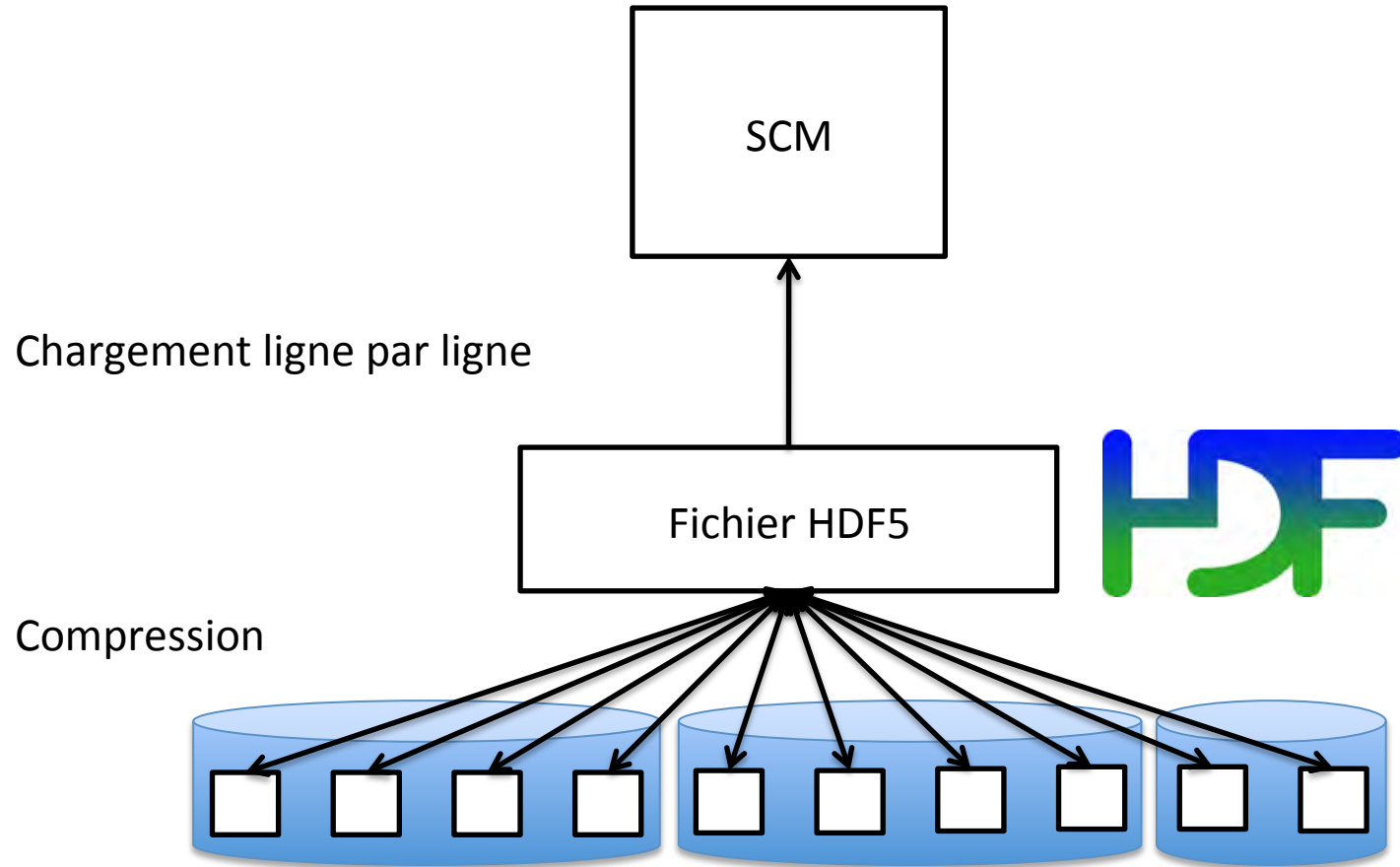
	\mathcal{K}															\mathcal{K}														
m	\mathcal{K}															\mathcal{K}														
	1	1	0	0	1	0	1	0	0	1	0	0	0	1	1	0	1	0	1	1	0	1	0	1	1	0	1	0	1	
	1	1	0	1	1	1	0	0	0	1	0	0	0	1	0	0	0	0	1	1	1	1	0	1	1	1	0	1		
	0	1	0	0	1	1	1	1	1	1	1	1	0	1	1	0	0	0	0	0	0	0	0	0	0	0	0	0	0	
	0	1	0	1	0	1	0	0	1	1	1	1	1	0	1	0	1	0	1	0	1	1	0	0	0	0	0	0	0	
	1	0	1	1	0	1	0	1	0	1	1	1	1	0	1	0	0	1	0	1	0	0	0	0	0	0	0	0	0	
	1	1	1	1	0	0	0	0	1	1	1	1	0	0	0	0	1	1	1	1	1	0	0	0	0	0	0	0	0	
A_i	1	1	1	0	3	1	3	2	0	0	0	2	2	2	2	3	0	2	0	1	3	3	3							
B_i	1	0	3	2	0	1	1	2	2	0	2	2	3	0	1	3	2	2	1	1	3	1								

Calcul de la fonction d'utilité

	\mathcal{K}																\mathcal{K}																							
m	1 1 0 0 1 0 1 0 0 0 1 0 0 0 1 1 0 1 0 1 0 1 1 0 1 0 1								1 1 0 1 1 1 0 0 0 0 1 0 0 0 1 0 0 0 0 1 1 1 1 0 1 0 1								0 1 0 0 1 1 1 1 1 1 1 1 1 0 1 1 1 0 0 0 0 0 0 0 0 0 0 0								0 1 0 1 0 1 0 0 1 1 1 1 1 1 0 1 0 1 0 1 0 1 1 0 0 0 0 0 0 0								1 0 1 1 0 1 0 1 0 1 1 1 1 0 1 0 0 1 0 1 0 1 0 0 0 0 0 0 0 0							
	1	1	0	0	1	0	1	0	0	0	1	0	0	0	1	1	0	1	0	1	1	0	1	0	1	1	0	1	1											
	1	1	0	1	1	1	0	0	0	0	1	0	0	0	1	0	0	0	0	1	1	1	1	0	1	1	1	0	1	1										
	0	1	0	0	1	1	1	1	1	1	1	1	1	0	1	1	1	0	0	0	0	0	0	0	0	0	0	0	0	0										
	0	1	0	1	0	1	0	0	0	1	1	1	1	1	1	0	1	0	1	0	1	0	1	1	0	0	0	0	0	0	0									
	1	0	1	1	0	1	0	1	0	1	1	1	1	1	0	1	0	0	1	0	1	0	1	0	1	0	0	0	0	0	0									
	1	1	1	1	0	0	0	0	0	1	1	1	1	1	0	0	0	0	1	1	1	1	1	0	0	0	0	0	0	0	0									

- Astuce: regrouper les bits de chaque colonne dans des int64
 - 8 x moins de mémoire
 - Instruction `popcount` => 64 x moins d'opérations!

Stockage et accès aux données



Résultats

Résistance aux antibiotiques

“Le rapport 2014 de l’OMS sur la surveillance mondiale de la résistance aux antimicrobiens révèle que la résistance aux antibiotiques n’est plus un souci pour l’avenir; c’est une réalité partout dans le monde aujourd’hui, qui risque de compromettre notre capacité à traiter des infections courantes dans la communauté comme dans les hôpitaux.”

– Organisation mondiale de la santé, 2014

Ensembles de données

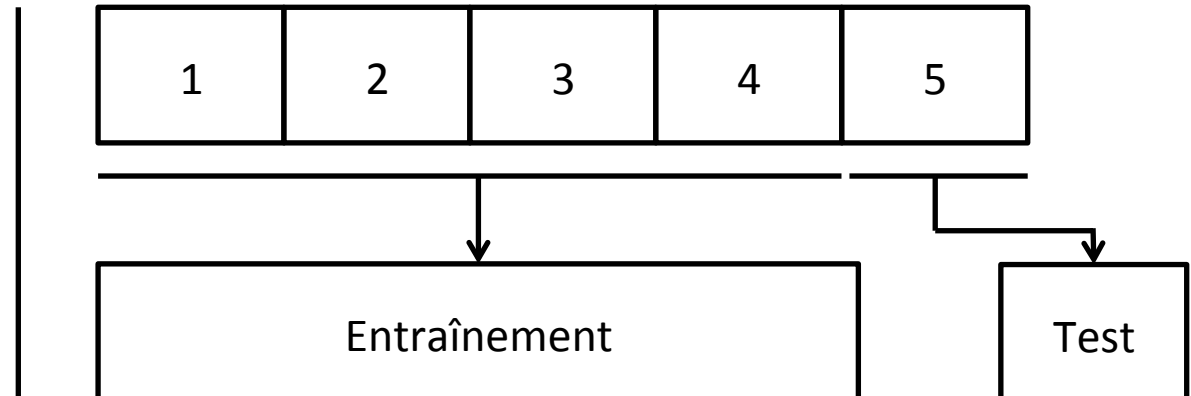
<i>Clostridium Difficile</i>	$ \mathcal{K} = 32\ 823\ 803$, m = 470 Source: Jacques Corbeil + Vivian Loo
<i>Pseudomonas Aeruginosa</i>	$ \mathcal{K} = 132\ 487\ 288$, m = 393 Source: AstraZeneca
<i>Mycobacterium tuberculosis</i>	$ \mathcal{K} = 11\ 255\ 033$, m = 154 Source: PMID25599400
<i>Streptococcus pneumoniae</i>	$ \mathcal{K} = 10\ 542\ 251$, m = 680 Source: PMID23644493

Filtres univariés

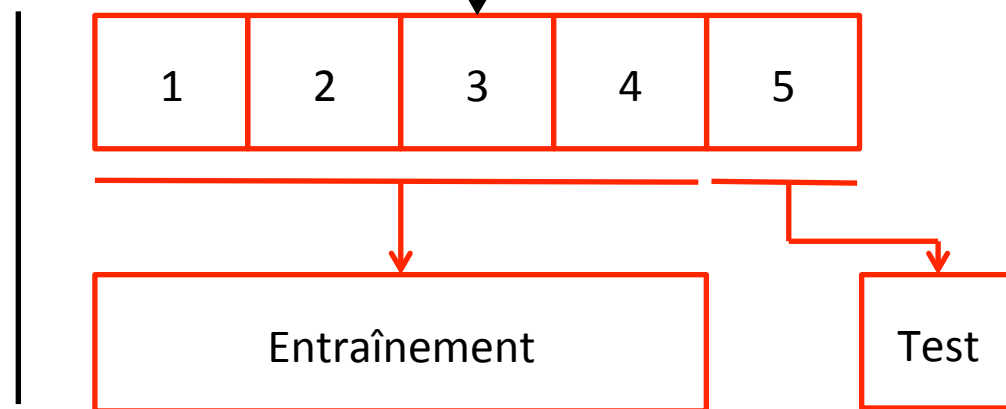
- Filtrer certains k-mers avant l'apprentissage selon le résultat d'un test statistique univarié.
- Le test du χ^2 de Pearson pour l'indépendance mesure la dépendance entre chaque k-mer et les étiquettes.
- p-value: probabilité d'obtenir une certaine valeur du χ^2 sachant qu'un k-mer est indépendant des étiquettes
- Correction de la FDR par la méthode de Benjamini-Yekutieli

Validation croisée imbriquée

Estimation du risque



Sélection des hyperparamètres



Résultats de prédiction

Clostridium Difficile

	SCM	Best	DT	L1SVM	L2SVM
Azithromycine	0.015 (3.2)	0.111 (1.0)	0.056 (8.8)	0.050 (3620.2)	0.041 (2462244.2)
Ceftriaxone	0.070 (2.0)	0.877 (1.0)	0.126 (7.8)	0.067 (623.8)	0.088 (2449563.8)
Clarithromycine	0.015 (3.0)	0.091 (1.0)	0.073 (10.8)	0.071 (1288.6)	0.074 (2463616.8)
Clindamycine	0.025 (2.0)	0.019 (1.0)	0.008 (2.4)	0.008 (971.4)	0.027 (2106950.2)
Moxifloxacine	0.019 (1.0)	0.019 (1.0)	0.019 (1.0)	0.022 (414.0)	0.041 (2487703.6)
Moyenne	0.029 (2.24)	0.223 (1.0)	0.056 (6.16)	0.044 (1383.6)	0.054 (2394015.7)

Résultats de prédiction

Streptococcus Pneumoniae

	SCM	Best	DT	L1SVM	L2SVM
Benzylpenicillin	0.012 (1.0)	0.009 (1.0)	0.010 (1.6)	0.014 (214.8)	0.014 (675375.6)
Erythromycine	0.031 (2.0)	0.049 (1.0)	0.047 (7.0)	0.045 (378.8)	0.041 (581550.6)
Tetracycline	0.025 (1.2)	0.025 (1.0)	0.025 (1.0)	0.025 (445.5)	0.025 (616914.4)
Moyenne	0.023 (1.4)	0.028 (1.0)	0.027 (3.2)	0.028 (346.3)	0.027 (624613.5)

Résultats de prédiction

Pseudomonas Aeruginosa

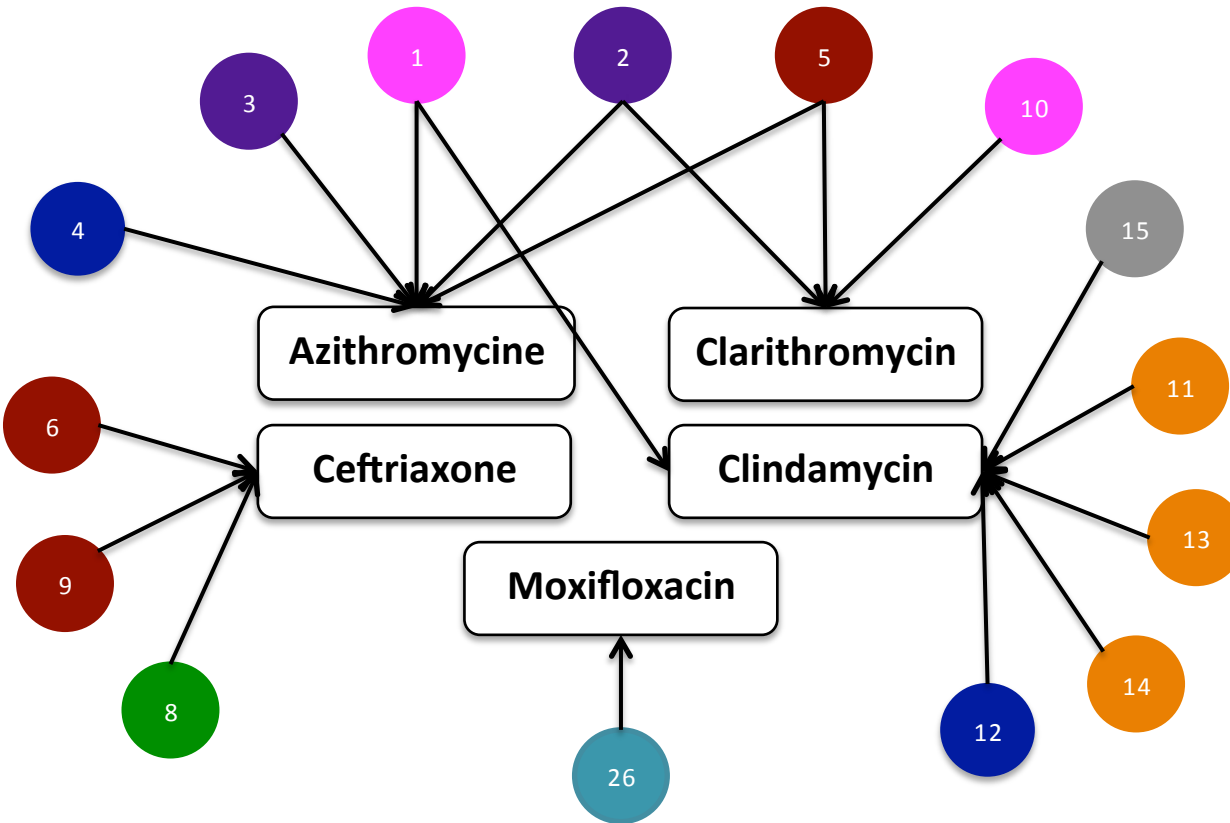
	SCM	Best	DT	L1SVM	L2SVM	Dummy
Amikacin	0.181 (6.0)	0.192 (1.0)	0.195 (21.0)	0.181 (710.0)	0.195 (115537.6)	0.230
Doripenem	0.234 (1.4)	0.264 (1.0)	0.253 (11.4)	0.262 (1532.8)	0.25 (11882.2)	0.378
Meropenem	0.280 (1.8)	0.291 (1.0)	0.253 (4.4)	0.250 (174.4)	0.261 (2961.2)	0.472
Levofloxacin	0.067 (1.4)	0.073 (1.0)	0.067 (1.4)	0.067 (15.6)	0.092 (100928.2)	0.416
Moyenne	0.191 (2.65)	0.205 (1.0)	0.192 (9.55)	0.190 (608.2)	0.2 (57827.3)	0.347

Résultats de prédiction

Mycobacterium Tuberculosis

	SCM	Best	DT	L1SVM	L2SVM
Ethambutol	0.209 (1.6)	0.297 (1.0)	0.230 (4.2)	0.202 (208.8)	0.202 (3219.8)
Isoniazid	0.021 (1.0)	0.979 (1.0)	0.014 (1.0)	0.021 (20.2)	0.029 (1550.2)
Rifampicin	0.035 (1.4)	0.035 (1.0)	0.035 (1.4)	0.028 (40.2)	0.029 (180.2)
Streptomycin	0.037 (1.0)	0.963 (1.0)	0.030 (1.4)	0.037 (49.4)	0.037 (1185.6)
Moyenne	0.076 (1.72)	0.569 (1.0)	0.078 (2.0)	0.072 (79.7)	0.074 (1554.0)

Validation biologique



DNA gyrase subunit A

Transposon Tn6110 and Clostridium Saccharolyticum 23S rRNA m(2)A-2503 methyltransferase

ErmB rRNA adenine N-6-methyltransferase

Tn6194-like Transposon, other

Penicillin-binding protein

Other: hypothetical proteins and unmatched k-mers

Two-component sensor histidine kinase

Conjugative transposon FtsK/SpoIIIE-like

Conclusion

- Notre méthode permet d'apprendre des modèles parcimonieux à partir de génomes complets.
- Ces modèles sont composés de règles facilement interprétables.
- Nos modèles ont une forme qui les rend particulièrement faciles à transformer en tests cliniques.
- Travaux futurs: corrélation entre certains k-mers, robustesse aux mutations, modèles plus complexes (DNF-SCM), cancer.

Remerciements

- Personnes impliquées dans le projet:

Apprentissage Automatique	Bioinformatique
<ul style="list-style-type: none">• Sébastien Giguère• Vladana Sagatovich• François Laviolette• Mario Marchand	<ul style="list-style-type: none">• Maxime Déraspe• Frédéric Raymond• Jacques Corbeil• Paul H. Roy
Lynda Robitaille	

Références

- Drouin, A., Giguère, S., Sagatovich, V., Déraspe, M., Laviolette, F., Marchand, M., & Corbeil, J. (2014). Learning interpretable models of phenotypes from whole genome sequences with the Set Covering Machine. *arXiv preprint arXiv:1412.1074*.
- Marchand, M., & Shawe-Taylor, J. (2003). The set covering machine. *The Journal of Machine Learning Research*, 3, 723-746.
- World Health Organization. (2014). Antimicrobial resistance. Factsheet 194, 2013.